

カバープレートをもつ変断面ばかりの弾塑性解析

九州大学 正員 山崎徳也
学生員 石川信隆
・ 楠原秀信

1. 緒言

本研究は端部あるいは途中にカバープレートをもつ静定変断面ばかりを対象とし、断面が階段状に変化する場合の経済的な断面決定の一指針をえらべく、従来の塑性設計理論より厳密な弾塑性解析を行なうより、まず変断面を等断面に置換したうえで置換断面に貯えられる補正エネルギー⁽²⁾を算定し、次いで各種静定変断面ばかりの弾塑性たわみをカバープレートの長さおよび厚さをパラメータとして求め、既往の塑性設計理論と比較検討したものである。

2. 変断面ばかりに対する補正エネルギー式の説明

いま図-1のとく途中に変断面部($I = dI_0, d > 1$)をもち、かつ塑性領域 x_1, x_2, x_3 が生じたばかりABを考えれば、変断面部における曲げモーメントと曲率との関係は変

断面部の断面 I を次モーメント I_0 に置換することによって弾性および弾塑性状態においてそれそれ以下のようにえられる。すなはち、まず弾性状態の曲率 ϕ は曲げモーメントを M とすれば次式で表わされる。

$$\phi = M/EI = \bar{M}/EI_0 \quad \dots \dots (1)$$

ここで \bar{M} は変断面部を等断面と見做したときの同断面部における曲げモーメントを示し、 $\bar{M} = M/(I/I_0) = M/\phi$ となる。

次に弾塑性状態における ϕ における断面を矩形とすれば同様に文献⁽²⁾より

$$\phi = My/(EI\sqrt{3-2M/M_y}) = \bar{M}_y/(EI_0\sqrt{3-2\bar{M}_y/\bar{M}_y}) \quad \dots \dots (2)$$

ただし $\bar{M}_y = M_y/\beta$, $\beta = (I/I_0)/(S/S_0)$ M_y : 等断面部の降伏曲げモーメント S, S_0 : 変断面部および等断面部の断面係数

さうに図-2のとく $M-\phi$ 曲線を $M-\phi$ 第1近似直線で置換した場合も同様に M, M_y を \bar{M}, \bar{M}_y に変換すれば次式のとくえられる。

$$\phi = \bar{\kappa}(M-M_y)/EI + M_y/EI = \bar{\kappa}(\bar{M}-\bar{M}_y)/EI_0 + \bar{M}_y/EI_0 \quad \dots \dots (3)$$

ただし $\bar{\kappa}$ は $M-\phi$ 第1近似直線の勾配を示す。

なお、式(2)で曲率 ϕ が無限大となるときは完全塑性状態を意味し、式(2)より矩形断面の塑性曲げモーメントは $\bar{M}_p = 1.5\bar{M}_y$ となり、一般に他形状の断面では次式となる。

$$\bar{M}_p = M_p/\beta, \beta = (I/I_0)/(S/S_0) \quad \dots \dots (4)$$

ただし M_p : 等断面部の塑性曲げモーメント S, S_0 : 変断面部および等断面部の塑性断面係数

以上導いた曲げモーメント-曲率関係を用うれば変断面部に対する補正エネルギー $\Delta U/\partial\phi = \int \phi dM$ が容易に導かれる。弾性および弾塑性状態に対するそれびれ次のとくえられる。

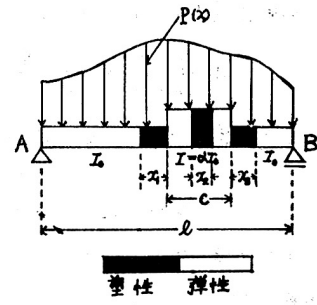


図-1

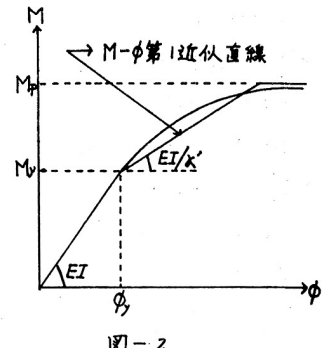


図-2

弹性状態では式(1)より

$$\frac{\partial \bar{U}}{\partial S} = \int_M \phi dM = \frac{\partial \bar{M}^2}{2EI_0} \quad \dots \dots (5)$$

弾塑性状態では式(2)を用いて厳密解

$$\frac{\partial \bar{U}}{\partial S} = \int_0^M \phi dM + \int_M^\infty \phi dM = \frac{\lambda M_2^2}{2EI_0} \left(3 - 2\sqrt{3 - 2\frac{M}{M_2}} \right) \quad \dots (6)$$

また式(3)を用いて近似解

$$\frac{\partial \bar{U}}{\partial S} = -\frac{d}{2EI_0} \left\{ \bar{M}^2 + \lambda (\bar{M} - \bar{M}_b)^2 \right\}, \quad \lambda = \lambda' - 1 \quad \dots \text{(2)}$$

ただししあはエネルギー等置条件¹²⁾を用いて定められ、矩形断面下(式(6)式(7))は等量して $k=3$ を使う。

よって変曲面部に対する厳密および近似補正エネルギー(式(5), 式(6)および式(7))を長さの方向に積分して等価面積を考慮すれば、結局変曲面部にに対する全補正エネルギーが次式で表わされる。

(i) 厳密補正エネルギー(U_0)

$$U_0 = \int_E \frac{M^2}{2E\tau_0} ds + \int_P \frac{M_y^2}{2E\tau_0} (3 - 2\sqrt{3 - 2\frac{M}{M_y}}) ds + \int_E \frac{\partial M^2}{2E\tau_0} ds + \int_P \frac{\partial M_y^2}{2E\tau_0} (3 - 2\sqrt{3 - 2\frac{M}{M_y}}) ds \quad \dots \quad (8)$$

(ii) M- ϕ 第1近似直線(=基づく補正エネルギー- (U_1))

$$U_1 = \int_{\bar{E} + \bar{P}} \frac{M^2}{2\bar{\varepsilon} I_0} ds + \Im \int_{\bar{E} + \bar{P}} \frac{(M - M_0)^2}{2\bar{\varepsilon} I_0} ds + \int_{\bar{E} + \bar{P}} \frac{\partial M^2}{2\bar{\varepsilon} I_0} ds + \Re \int_{\bar{P}} \frac{\lambda(M - M_0)^2}{2\bar{\varepsilon} I_0} ds \quad \dots (7)$$

ここで積分記号の添字を, P は等断面部, $\bar{E}, \bar{\nu}$ は複断面部における弾性および塑性領域のけり表面での表さをそれぞれ示す。

3. 静定変断面ばかりの弾塑性解析

2. で説明した変断面ばかりに対する補正エネルギーを用いてカバーブレートをもつ单纯ばかりかおよび方持ばかりに集中荷重が載荷したときの弾塑性たわみを求める。

(1) 中央集中荷重を受ける変断面単純ばり

図-3のとき中央にカバーブレートをもつ単純げり A B の中央
央突 C に集中荷重 P が作用して塑性領域が DP , HI , EJ だけに生
ずるとのとすれば、補正エネルギーは式(6)および式(1)より次式の
こととなる。

$$U_0 = 2 \left[\int_{0}^{x_1} \frac{M^2}{2EI_0} dx + \int_{x_1}^{x_2} \frac{\partial M^2}{2EI_0} dx + \int_{x_1}^{x_2(c-x)} \frac{M_b^2}{2EI_0} (3 - 2\sqrt{3 - 2 \frac{M}{M_b}}) dx \right. \\ \left. + \int_{x_2}^{\frac{L}{2}} \frac{\partial M_b^2}{2EI_0} (3 - 2\sqrt{3 - 2 \frac{M}{M_b}}) dx \right]$$

$$U_{11} = 2 \left\{ \int_0^{(L-x)} \frac{M^2}{2EJ_0} dx + \int_{(L-x)}^L \frac{\partial M^2}{2EJ_0} dx + N \int_{x_1}^{(L-x)} \frac{(M-M_{x_1})^2}{2EJ_0} dx + N \int_{x_2}^L \frac{\partial (M-M_{x_1})^2}{2EJ_0} dx \right\}$$

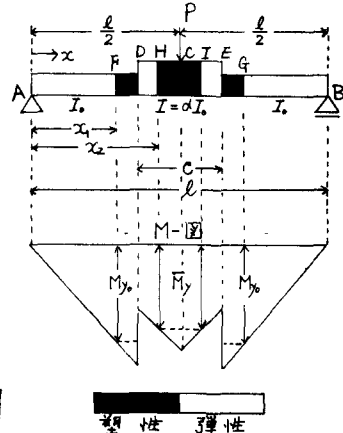


图 - 3

$$F = F_0 \cdot l \quad M = pxy/2, \bar{M} = px/2\alpha, \bar{M}_y = My_0/\sqrt{\alpha}, \quad \beta = \sqrt{\alpha} \quad (\text{矩形断面})$$

ここで中央 C 点のたわみを求めるため上式に変分原理を適用すればそれぞれ次式がえられる。

(i) 複密解によるたわみ(f_0)

$$\delta_0 = \frac{2U_0}{\partial P} = \frac{PL^3}{48EI_0} \left\{ \frac{8X_1^3}{l^3} + \frac{1}{2} \left\{ \frac{8X_2^3}{l^3} - \left(1 - \frac{C}{l}\right)^3 \right\} - 32 \left(\frac{M_{y_0}}{PL} \right)^3 \left\{ \left(6 + \frac{1}{2} \left(1 - \frac{C}{l}\right) \frac{PL}{M_{y_0}}\right) \sqrt{3 - \frac{1}{2} \left(1 - \frac{C}{l}\right) \frac{PL}{M_{y_0}}} \right. \right. \\ \left. \left. - \left(6 + \frac{X_1}{l} \frac{PL}{M_{y_0}}\right) \sqrt{3 - \frac{X_1}{l} \frac{PL}{M_{y_0}}} + \lambda \left(\left(6 + \frac{1}{2} \frac{PL}{M_{y_0}}\right) \sqrt{3 - \frac{1}{2} \frac{PL}{M_{y_0}}} - \left(6 + \frac{X_2}{l} \frac{PL}{M_{y_0}}\right) \sqrt{3 - \frac{X_2}{l} \frac{PL}{M_{y_0}}} \right) \right\} \right] \dots (a)$$

(ii) M - φ 第1近似直線に基づいたわみ (δ_1)

$$\delta_1 = \frac{PL^3}{48EI_0} \left\{ \left(1 - \frac{C}{l}\right)^3 + \frac{1}{2} \left\{ 1 - \left(1 - \frac{C}{l}\right)^3 \right\} + 3 \left\{ \left(1 - \frac{C}{l}\right)^3 - \frac{8X_1^3}{l^3} + \frac{1}{2} \left(1 - \frac{8X_2^3}{l^3}\right) \right\} \right. \\ \left. - \frac{16M_{y_0}}{PL} \left\{ \left(1 - \frac{C}{l}\right)^2 - \frac{4X_1^2}{l^2} + \frac{1}{36} \left(1 - \frac{8X_2^2}{l^2}\right) \right\} \right\} \dots (b)$$

ここの式 (a) より式 (b) 中の X_1, X_2 (弹性と塑性領域との境界を指定し、図-3 の M および H 矢の導出曲げモーメントが M_{y_0} や M_y に等しかるべき条件より) 式をうる。

$$X_1 = 2M_{y_0}/P, X_2 = 2\sqrt{d^2}M_{y_0}/P \quad \text{ただし } 0 \leq X_1 \leq l/2 - C, l/2 - C \leq X_2 \leq l/2 \dots (c)$$

ここで荷重 P は初期降伏荷重 P_y と崩壊荷重 P_u との範囲に規定され P_y, P_u は次式となる。

$$P_y = \min(P_{y1}, P_{y2}), P_u = 1.5P_y \dots (d)$$

ただし P_{y1}, P_{y2} は D 矢および C 矢の初期降伏荷重を示す $P_{y1} = 4M_{y_0}/(l-C), P_{y2} = 4\sqrt{d^2}M_{y_0}/l$ となる。

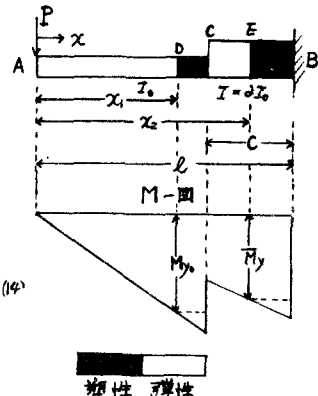
(e) 集中荷重を受けた変断面片持ばり (図-4 参照)

自由端 A に集中荷重 P が作用する片持ばり A-B の A 端におけるたわみおよびたわみ角を求めれば、3.(i) と同様それぞれ次式がえられる。

(i) 厳密解によるたわみ (δ_0) およびたわみ角 (θ_0)

$$\delta_0 = \frac{PL^3}{3EI_0} \left\{ \frac{X_1^3}{l^3} + \frac{1}{2} \left\{ \frac{X_2^3}{l^3} - \left(1 - \frac{C}{l}\right)^3 \right\} - \left(\frac{M_{y_0}}{PL} \right)^3 \left\{ \left(3 + \left(1 - \frac{C}{l}\right) \frac{PL}{M_{y_0}}\right) \sqrt{3 - 2\left(1 - \frac{C}{l}\right) \frac{PL}{M_{y_0}}} \right. \right. \\ \left. \left. - \left(3 + \frac{X_1}{l} \frac{PL}{M_{y_0}}\right) \sqrt{3 - \frac{2X_1}{l} \frac{PL}{M_{y_0}}} + \lambda \left(\left(3 + \frac{1}{2} \frac{PL}{M_{y_0}}\right) \sqrt{3 - \frac{2}{3d^2} \frac{PL}{M_{y_0}}} - \left(3 + \frac{X_2}{l} \frac{PL}{M_{y_0}}\right) \sqrt{3 - \frac{2X_2}{l} \frac{PL}{M_{y_0}}} \right) \right\} \right\} \dots (e)$$

$$\theta_0 = \frac{PL^2}{2EI_0} \left\{ \frac{X_1^2}{l^2} + \frac{1}{2} \left\{ \frac{X_2^2}{l^2} - \left(1 - \frac{C}{l}\right)^2 \right\} - 2 \left(\frac{M_{y_0}}{PL} \right)^2 \sqrt{3 - 2\left(1 - \frac{C}{l}\right) \frac{PL}{M_{y_0}}} - \sqrt{3 - \frac{2X_1}{l} \frac{PL}{M_{y_0}}} \right. \\ \left. + \sqrt{3 - \frac{2}{3d^2} \frac{PL}{M_{y_0}}} - \sqrt{3 - \frac{2X_2}{l} \frac{PL}{M_{y_0}}} \right\} \dots (f)$$



(ii) M - φ 第1近似直線に基づいたわみ (δ_1) およびたわみ角 (θ_1)

図-4

$$\delta_1 = \frac{PL^3}{6EI_0} \left\{ 2\left(1 - \frac{C}{l}\right)^3 + \frac{2}{3} \left\{ 1 - \left(1 - \frac{C}{l}\right)^3 \right\} + 6 \left\{ \left(1 - \frac{C}{l}\right)^3 - \frac{X_1^3}{l^3} + \frac{1}{2} \left(1 - \frac{X_2^3}{l^3}\right) \right\} - \frac{9M_{y_0}}{PL} \left\{ \left(1 - \frac{C^2}{l^2}\right) - \frac{X_1^2}{l^2} + \frac{1}{36} \left(1 - \frac{X_2^2}{l^2}\right) \right\} \right\} \dots (g)$$

$$\theta_1 = \frac{PL^2}{2EI_0} \left\{ \left(1 - \frac{C}{l}\right)^2 + \frac{1}{2} \left\{ 1 - \left(1 - \frac{C}{l}\right)^2 \right\} + 3 \left\{ \left(1 - \frac{C}{l}\right)^2 - \frac{X_1^2}{l^2} + \frac{1}{2} \left(1 - \frac{X_2^2}{l^2}\right) \right\} - \frac{6M_{y_0}}{PL} \left\{ 1 - \frac{C}{l} - \frac{X_1}{l} + \frac{1}{36} \left(1 - \frac{X_2}{l}\right) \right\} \right\} \dots (h)$$

ただし $X_1 = M_{y_0}/P, X_2 = \sqrt{d^2}M_{y_0}/P, P_y = \min(P_{y1}, P_{y2}), P_u = 1.5P_y, P_{y1} = M_{y_0}/(l-C), P_{y2} = \sqrt{d^2}M_{y_0}/l \dots (i)$

4. 数値計算及び考察

以上の諸式を用い、変断面の形状比 $\beta = I/l$ および長さ C をパラメータとし、 $\lambda = 1.25$ より 2.00 まで 0.25 刻みで、 $C = 0.2l$ より $0.8l$ まで 0.2 刻みで数値計算を行なう。たゞ、被覆の都合上、図-6, 7 および表-1 を図示するに止める。

(i) 崩壊過程はもよび C の値によつて次の 3 つのモデル A, B, C に分類 (図-5 参照) されることが分った。

モデル A (図-5(a))：荷重束 (片持ばりでは固定端) で崩壊する場合で荷重 - たわみ曲線が図-6 のごく左側の場合。

モデルB(図-5(a)):断面が階段状に変化する実(以下断面変化実と呼ぶ)で崩壊する場合で荷重一たわみ曲線が図-7のじとくたる場合。

モデルC(図-5(c)):荷重実(片持ばかり)(は固定端)と断面変化実とが殆んど同時に崩壊する場合で荷重一たわみ曲線は図-6または図-7の2つの場合。

モデルCは荷重実および断面変化実が殆んど同時に降伏する条件すなはり $M_{max}/M_{yield} = M_y/M_y = \beta$ を満足するときには起りうるよりて、断面を経済的に使用する観点に立てばモデルCの崩壊過程が最も望ましいといえる。

以上より結果を統括して表-1(=表-1)を示した。

(2) 図-6, 7に示すじとく荷重(P)-たわみ(δ)曲線は一般に $P=P_B \sim 1.4P_y$ までは直線変化で変形は小さく安全といえるが、 $P \geq 1.4P_y$ を越えると急激な変化を示し、変形が大きくなると危険となることと認められる。

(3) 図-6, 7を例にとれば厳密解によるたわみ δ と $M - \phi$ 第1近似直線に基づくたわみ δ との誤差は崩壊時で約3%であるが、塑性設計によるたわみ δ と δ との誤差は崩壊時で約33%の過小評価していること分かる。これら2種類は3.(2)の方持ばかりの場合でかいえ、品がよいと比べ高精度を有することが立証され、これより等断面ばかりと同様変断面ばかりにおいても $M - \phi$ 第1近似直線が十分使用可能なることが了解された。

5. 結び

本法は任意の荷重を受けたガバーフレートをもつ静定変断面ばかりの弾塑性解析に適用しうるものでさるに不静定変断面構造物に対しては、等断面の場合と同様(=弾塑性変断面たわみ角式)を説導すれば実用弾塑性解析が可能となり、また断面が直線か放物線変化の場合もたゞがXの多項式となるのみで本法をそのまま適用しうる。本研究には文部省科学研究費の補助を受けた、記して謝意を表す。

参考文献 1) MIKLÓS HETÉNYI: Deflection of Beams of Varying Cross Section, Journal of Applied Mechanics, vol 4, 1937. 2) 山崎・大田・石川:補正エネルギー法(=Xの直線材構造物の弾塑性解析), 土木学会論文集, 第134号, 10, 1966.

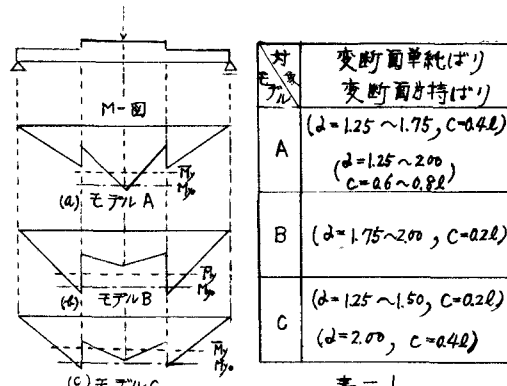


表-1

図-5

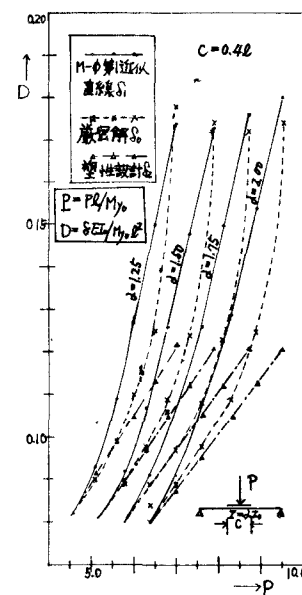


図-6

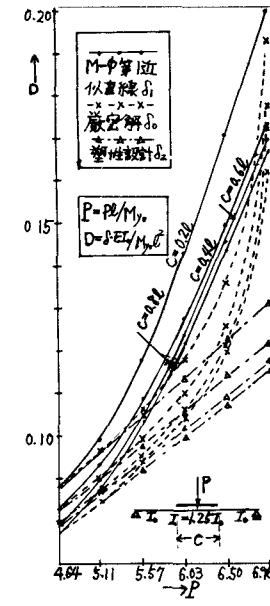


図-7